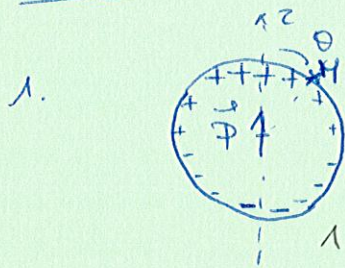


1. Questions (20 points)



densité volumique de charges de polarisation

$$\rho_p = -\text{div } \vec{P} = 0 \quad 1$$

densité surfacique de charges de polarisation

$$\sigma_p = \vec{P} \cdot \vec{e}_r = P \cos \theta \quad 1$$

2 a) polarisabilité électronique : déplacement et déformation du nuage électronique sous l'effet d'un champ électrique

\* polarisabilité atomique ou ionique : déplacement des atomes ou

des ions par rapport à leur position d'équilibre dans l'édifice

moléculaire ou cristallin dans lequel il se trouve (sous l'effet d'un champ électrique)

\* polarisabilité d'orientation : rotation de molécules polaires sous l'effet d'un champ électrique

b) si on applique un champ électrique oscillant, on peut distinguer les différents mécanismes car ils apparaissent à des fréquences différentes.

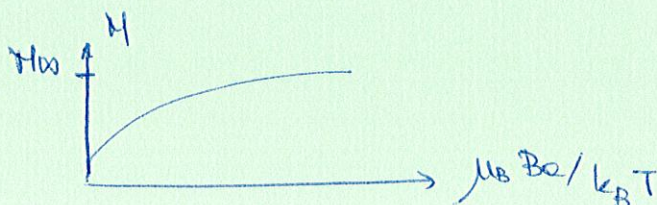
3. Dans un milieu diélectrique dispersif, la permittivité dépend de la pulsation  $\omega$ . Ainsi l'indice du milieu et la vitesse de propagation des ondes dépendent de la pulsation de l'onde  $\omega$ .

lors de sa propagation, un paquet d'onde se déformera, car chacune des ondes planes le composent aura une vitesse de phase différente.

4. Dans un milieu paramagnétique

$$M = M_{\max} \text{th} \left( \frac{\mu_B B_0}{k_B T} \right)$$

$$M_{\max} = n \mu_B$$





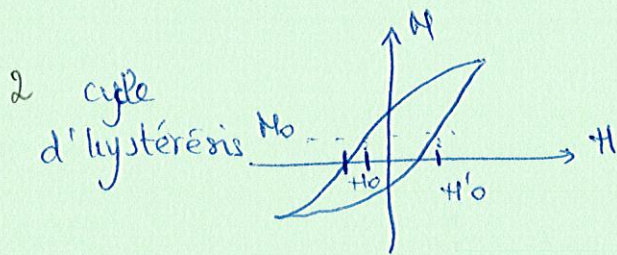
$n =$  densité

$B_0$  champ magnétique appliqué

2  $\mu_B B_0 \gg k_B T$  les moments magnétiques ont tendance à s'aligner dans la direction du champ (cas champ magnétique fort, température faible) : saturation de l'aimantation à  $n\mu_B$  quand tous les moments magnétiques sont alignés

2  $\mu_B B_0 \ll k_B T$  (cas champ magnétique faible, température forte) l'aimantation tend vers 0. L'agitation thermique a tendance à orienter les moments magnétiques dans des directions aléatoires.

5a) l'aimantation d'un matériau ferromagnétique dépend de "l'histoire" antérieure du matériau



l'aimantation  $M$  (et le champ magnétique  $B$ ) ne prennent pas les mêmes valeurs en champ  $H$  croissant ou en champ  $H$  décroissant

b) ferromagnétiques doux : champ coercitif faible, cycle d'hystérésis étroit, leur aimantation peut être facilement modifiée, pertes énergétiques faibles

2 applications : appareils où le champ magnétique varie  
moteurs, transformateurs, électroaimants

ferromagnétiques durs : fort champ coercitif, magnétisme rémanent difficile à supprimer

2 applications : aimants permanents.



2. Propagation d'une onde

25 points

1.  $\left\{ \begin{array}{l} \text{div } \vec{D} = \rho_{\text{libre}} = 0 \quad \text{milieu non chargé} \quad 9,5 \\ \text{div } \vec{B} = 0 \quad 9,5 \\ \text{rot } \vec{E} = - \frac{\partial \vec{B}}{\partial t} \quad 9,5 \\ \text{rot } \vec{H} = \vec{j}_{\text{libre}} + \frac{\partial \vec{D}}{\partial t} = \frac{\partial \vec{D}}{\partial t} \quad \text{milieu très bon isolant} \quad 9,5 \\ \text{milieu LHI d'indice } n \quad \vec{D} = \epsilon_0 \epsilon_r \vec{E} \text{ et } \epsilon_r = n^2 \quad 9,5 \end{array} \right.$

$\text{div } \vec{E} = 0$  (car  $\text{div } \vec{D} = 0$ )  $9,5$   
 milieu non magnétique  $\vec{H} = \vec{B} / \mu_0$   $9,5$   
 donc  $\text{rot } \vec{B} = \mu_0 \epsilon_0 n^2 \frac{\partial \vec{E}}{\partial t}$   $9,5$

2a)  $\vec{k} = k \vec{e}_z \quad k = \frac{\omega}{c} n$   $9,5$   
 vitesse de propagation  $v = c/n$   $9,5$

b)  $\vec{E} = E_0 e^{i(kz - \omega t)} \vec{e}_x$   $1$   
 $\text{rot } \vec{E} = - \frac{\partial \vec{B}}{\partial t} \quad i \vec{k} \wedge \vec{E} = i \omega \vec{B}$   $1$   
 $\vec{B} = \frac{k}{\omega} \vec{e}_z \wedge E_0 \vec{e}_x e^{i(kz - \omega t)}$   
 $\vec{B} = \frac{k}{\omega} E_0 \vec{e}_y e^{i(kz - \omega t)} = \frac{n}{c} E_0 \vec{e}_y e^{i(kz - \omega t)}$   $1$

$\left. \begin{array}{l} \vec{k} = k \vec{e}_z \\ \vec{E} = E_0 \cos(kz - \omega t) \vec{e}_x \\ \vec{B} = \frac{k}{\omega} E_0 \cos(kz - \omega t) \vec{e}_y \end{array} \right\} (\vec{k}, \vec{E}, \vec{B}) \text{ forme un trièdre direct}$   $1$

3.  $\langle \vec{\Pi} \rangle = \frac{1}{\mu_0} \langle \vec{E} \wedge \vec{B} \rangle = \frac{1}{2\mu_0} \text{Re} (\vec{E} \wedge \vec{B}^*) = \frac{1}{2\mu_0} E_0^2 \frac{n}{c} \vec{e}_z$

$\langle \vec{\Pi} \rangle = \frac{1}{2} E_0^2 n \epsilon_0 c \vec{e}_z$   $2$

$P = \iint \langle \vec{\Pi} \rangle \cdot d\vec{S} = \iint \frac{1}{2} E_0^2 n \epsilon_0 c \vec{e}_z \cdot d\vec{S} \vec{e}_z = \frac{1}{2} E_0^2 n \epsilon_0 c S$   $1$



$$4. \quad \vec{k} = k \vec{e}_z = \frac{\omega}{c} \underline{n} \vec{e}_z \quad \text{q.s.} \quad \underline{n} = n_1 + i n_2$$

$$\vec{E} = E_0 \vec{e}_x e^{i(kz - \omega t)} = E_0 \vec{e}_x e^{i(\omega/c n_1 z - \omega t)} e^{-\frac{\omega}{c} n_2 z} \quad \text{q.s.}$$

$$\vec{E} = \text{Re}(\vec{E}) = E_0 \vec{e}_x e^{-\omega/c n_2 z} \cos\left(\frac{\omega}{c} n_1 z - \omega t\right) \quad 1$$

$$\vec{B} = \frac{k}{\omega} \vec{e}_z \wedge \vec{E} = \frac{\omega}{\omega c} (n_1 + i n_2) \vec{e}_z \wedge E_0 \vec{e}_x e^{-\omega/c n_2 z} e^{i(\frac{\omega}{c} n_1 z - \omega t)}$$

$$\vec{B} = (n_1 + i n_2) \frac{E_0}{c} \vec{e}_y e^{-\omega/c n_2 z} e^{i(\frac{\omega}{c} n_1 z - \omega t)} \quad 1$$

$$\vec{B} = \text{Re}(\vec{B})$$

$$\vec{B} = (n_1 + i n_2) \frac{E_0}{c} \vec{e}_y e^{-\omega/c n_2 z} \left[ \cos\left(\frac{\omega}{c} n_1 z - \omega t\right) + i \sin\left(\frac{\omega}{c} n_1 z - \omega t\right) \right]$$

$$\vec{B} = n_1 \frac{E_0}{c} \vec{e}_y e^{-\omega/c n_2 z} \cos\left(\frac{\omega}{c} n_1 z - \omega t\right)$$

$$- n_2 \frac{E_0}{c} \vec{e}_y e^{-\omega/c n_2 z} \sin\left(\frac{\omega}{c} n_1 z - \omega t\right)$$

$$= \frac{E_0}{c} \vec{e}_y e^{-\omega/c n_2 z} \left( n_1 \cos\left(\frac{\omega}{c} n_1 z - \omega t\right) - n_2 \sin\left(\frac{\omega}{c} n_1 z - \omega t\right) \right) \quad 1$$

5a) l'origine de cette expression de  $\underline{\chi}_e$  est le modèle de l'électron élastiquement lié 1

( $\omega_0$  = pulsation propre (caractérise la force de rappel de l'e- au noyau)  
 $\tau$  = temps d'amortissement 1

$$b) \quad \underline{\chi}_e = \underline{\epsilon} - 1 = \underline{n}^2 - 1 \quad 1$$

$$6. \quad \underline{\chi}_e = \frac{\omega_p^2}{(\omega_0^2 - \omega^2 - i\omega/\tau)} = \frac{\omega_p^2 (\omega_0^2 - \omega^2 + i\omega/\tau)}{(\omega_0^2 - \omega^2)^2 + (\omega/\tau)^2}$$

$$\underline{\chi}_e = \chi_r + i \chi_i \quad \chi_r = \frac{\omega_p^2 (\omega_0^2 - \omega^2)}{(\omega_0^2 - \omega^2)^2 + (\omega/\tau)^2} \quad 2$$

$$\chi_i = \frac{\omega_p^2 \omega/\tau}{(\omega_0^2 - \omega^2)^2 + (\omega/\tau)^2}$$

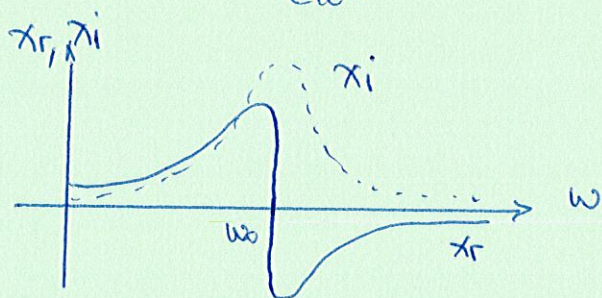


$$\omega = 0 \quad \chi_r = \frac{up^2}{\omega_0^2} \quad \chi_i = 0$$

$$\omega = \omega_0 \quad \chi_r = 0 \quad \chi_i = \frac{up^2 \epsilon}{\omega_0}$$

$$\omega \rightarrow +\infty \quad \chi_r \sim -\frac{up^2}{\omega^2} \rightarrow 0 \text{ par valeurs négatives}$$

$$\chi_i \sim \frac{up^2}{\epsilon \omega^3} \rightarrow 0 \text{ par valeurs négatives}$$



et pour la figure

7a) absorption maximale pour  $\omega_{max} = \omega_0$

$$\underline{\chi_e} = i \frac{up^2 \epsilon}{\omega_0} = i \chi_i$$

1

7b) à  $\omega_{max} = \omega_0$

$$i \chi_i = \underline{n^2} - 1 = (n_1 + i n_2)^2 - 1$$

$$i \chi_i = n_1^2 + 2i n_1 n_2 - n_2^2 - 1$$

2

$$\Rightarrow \begin{cases} n_1^2 - n_2^2 = 1 \\ 2n_1 n_2 = \chi_i \end{cases}$$

$$\left. \begin{array}{l} n_1 \text{ indice de réfraction} \\ n_2 \text{ indice d'absorption} \end{array} \right\} n_1 \gg n_2$$

$$n_1^2 - n_2^2 \approx n_1^2 = 1$$

$$n_2 = \frac{\chi_i}{2n_1} = \frac{up^2 \epsilon}{2\omega_0}$$